

С. Т. ВАСЬКОВ, И. М. САХАРОВ  
(Новосибирск)

## ТОЧНОСТЬ ОТСЧЕТА КООРДИНАТ В СИСТЕМЕ С ОПТИЧЕСКИМИ РЕШЕТКАМИ

Автоматические устройства кодирования и ввода в ЭВМ координат изображений, в которых сканирующий узел выполнен на основе электронно-лучевой трубы (ЭЛТ) высокого разрешения, в настоящее время являются наиболее перспективными. В приборах этого типа [1—3] требуемая точность достигается применением специальных координатных решеток, по которым одновременно с перемещением по изображению движется сканирующий луч ЭЛТ. Известно [4], что распределение яркости светового пятна ЭЛТ близко к нормальному:

$$f(x, y, x_0, y_0) = \frac{1}{2\pi r^2} e^{-\frac{(x-x_0)^2+(y-y_0)^2}{2r^2}}, \quad (1)$$

где  $x_0, y_0$  — координаты центра светового пятна;  $r$  — параметр закона.

Точность таких систем ввода определяется погрешностью, которая обусловлена шумами приемника света (ФЭУ), конечными размерами апертуры луча и шумами датчика света (ЭЛТ). Поэтому целесообразно провести анализ влияния отдельных составляющих погрешности на точность и определить оптимальные соотношения, позволяющие повысить точность отсчета координат.

Для проведения анализа удобно представить экран ЭЛТ равномерно возбужденным (засвеченным), а сканирование координатных решеток производить приемником с апертурой, определяемой выражением (1). Правомерность такого представления обоснована в [4, 5].

Координатные решетки представляют собой наклоненные под углом  $\alpha$  к оси  $x$  линии с коэффициентом пропускания

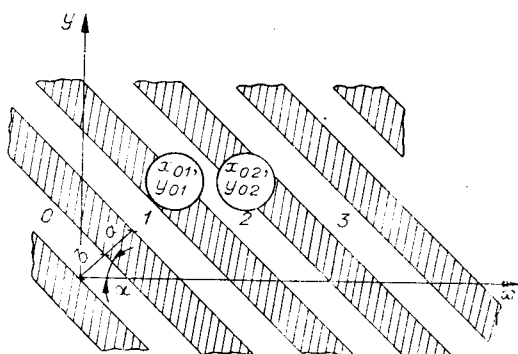


Рис. 1. Координатная решетка.

$\mu(\hat{x}, \hat{y})=0$ , нанесенные на подложку с коэффициентом пропускания  $\eta(x, y)=1$ , т. е. абсолютно непрозрачные линии шириной  $a$  нанесены на расстоянии  $b$  на прозрачную подложку (рис. 1).

Корреляционная функция  $R(x_{01}, y_{01}, x_{02}, y_{02})$  шума ЭЛТ, прошедшего через такую решетку, определяется интегралом

$$R(x_{01}, y_{01}, x_{02}, y_{02}) = \iint_S f(x_1, y_1, x_{01}, y_{01}) f(x_2, y_2, x_{02}, y_{02}) \times \\ \times E[\xi_1(x_1, y_1) \xi_2(x_2, y_2)] dx_1 dx_2 dy_1 dy_2, \quad (2)$$

где  $f(x_1, y_1, x_{01}, y_{01}), f(x_2, y_2, x_{02}, y_{02})$  — яркость пятна ЭЛТ с центром в точке с координатами  $x_{01}, y_{01}, x_{02}, y_{02}$  соответственно;  $S$  — область координатной решетки, где коэффициент пропускания  $\eta(x, y)=1$ ;  $\xi_1(x_1, y_1), \xi_2(x_2, y_2)$  — значение шума ЭЛТ в точках с координатами  $x_1, y_1$  и  $x_2, y_2$  соответственно;  $E[\xi_1(x_1, y_1) \xi_2(x_2, y_2)]$  — корреляционная функция шума ЭЛТ. Пространственный шум ЭЛТ в полосе пропускания апертуры луча является «белым» пространственным шумом. Кор-

реляционная функция «белого» шума

$$E[\xi(x_1, y_1) \xi(x_2, y_2)] = D\delta(x_2 - x_1; y_2 - y_1), \quad (3)$$

где  $\delta(x_2 - x_1; y_2 - y_1)$  — дельта-функция;  $D$  — спектральная плотность мощности шума ЭЛТ. Вычисление (2) с учетом свойства  $\delta$ -функции (3) дает

$$R(x_{01}, y_{01}, x_{02}, y_{02}) = D \int_S f(x_1, y_1, x_{01}, y_{01}) f(x_1, y_1, x_{02}, y_{02}) dx_1 dy_1. \quad (4)$$

Функция, описывающая коэффициент пропускания решетки, может быть представлена в виде [6]

$$r(x, y) = \begin{cases} 1, & \text{если } n(a+b) \leq x \sin \alpha + y \cos \alpha \leq na + (n+1)b; \\ & -\infty \leq x \leq \infty; \\ 0, & \text{если } na + (n+1)b \leq x \sin \alpha + y \cos \alpha \leq (n+1)(a+b); \\ & -\infty \leq x \leq \infty; \\ n = 0, \pm 1, \pm 2, \dots, \pm \infty. & \end{cases} \quad (5)$$

Вычисление (4) с учетом (5) и (1) приводит к выражению

$$\begin{aligned} R(x_{01}, y_{01}, x_{02}, y_{02}) &= \frac{D}{4\pi r^2} e^{-\frac{(x_{01}-x_{02})^2+(y_{01}-y_{02})^2}{4\pi r^2}} \times \\ &\times \sum_{n=-\infty}^{n=\infty} \left\{ \Phi \left[ \sqrt{2} \frac{n(a+b) + b - \frac{y_{01} + y_{02}}{2} \cos \alpha - \frac{x_{01} + x_{02}}{2} \sin \alpha}{r} \right] - \right. \\ &\left. - \Phi \left[ \sqrt{2} \frac{n(a+b) - \frac{y_{01} + y_{02}}{2} \cos \alpha - \frac{x_{01} + x_{02}}{2} \sin \alpha}{r} \right] \right\}, \end{aligned} \quad (6)$$

где

$$\Phi(z) = \frac{1}{\sqrt{2\pi}} \int_{-\infty}^z e^{-\frac{t^2}{2}} dt — \text{интеграл вероятности.}$$

Полагая в (6)  $y_{01} = y_{02} = y_0$  и  $x_{01} = x_{02} = x_0$ , получим выражение, определяющее изменение дисперсии шума ЭЛТ в зависимости от положения луча ЭЛТ относительно координатной решетки

$$\begin{aligned} \sigma^2(x_0, y_0) &= \sum_{n=-\infty}^{n=\infty} \sigma_{\max}^2 \left\{ \Phi \left[ \sqrt{2} \frac{n(a+b) + b - y_0 \cos \alpha - x_0 \sin \alpha}{r} \right] - \right. \\ &\left. - \Phi \left[ \sqrt{2} \frac{n(a+b) - y_0 \cos \alpha - x_0 \sin \alpha}{r} \right] \right\}, \end{aligned}$$

где  $\sigma_{\max}^2 = \frac{D}{4\pi r^2}$  — дисперсия шума ЭЛТ без координатной решетки.

Не нарушая общности анализа, можно положить, что световой луч движется по одной из координатных осей, например, по  $x$  ( $y=0$ ). Тогда получим выражение, определяющее изменение дисперсии шума ЭЛТ в зависимости от координаты  $x$ :

$$\sigma_x^2(x) = \sigma_{\max}^2 \sum_{n=-\infty}^{n=\infty} \left\{ \Phi \left[ \sqrt{2} \frac{n(a+b) + b - x \sin \alpha}{r} \right] - \Phi \left[ \sqrt{2} \frac{n(a+b) - x \sin \alpha}{r} \right] \right\}. \quad (7)$$

Ряд (7) может быть ограничен тремя членами  $-1 \leq n \leq 1$ , если предположить, что  $r < (a+b)$ . Кривая распределения апертуры луча в этом случае лежит в основном в пределах трех линий, ближайших к центру пятна.

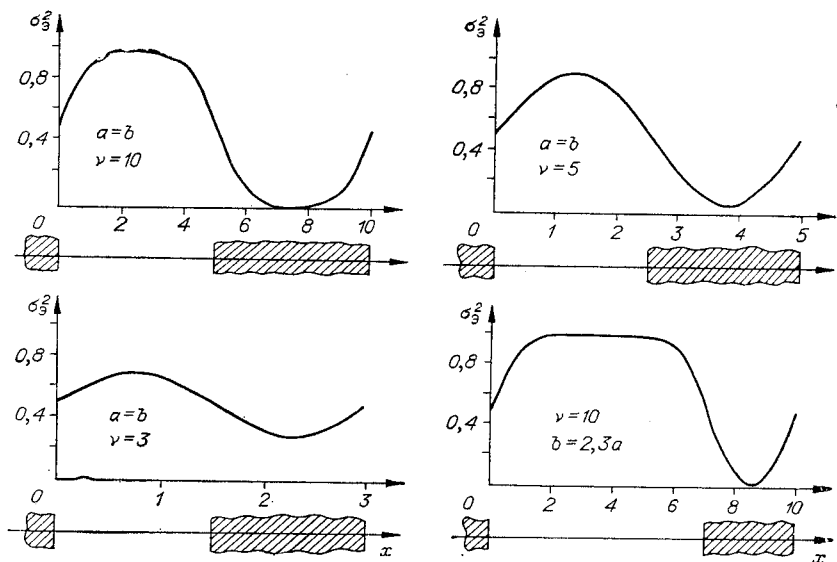


Рис. 2. Зависимость дисперсии шума ЭЛТ от положения луча относительно координатной решетки.

Наличие в координатном канале оптической решетки приводит к модуляции шума ЭЛТ. Таким образом, шум ЭЛТ, действующий на сигнал в координатном канале, является нестационарным случайным шумом, дисперсия которого уменьшается при увеличении радиуса луча ЭЛТ и уменьшении отношения: шаг решетки к радиусу луча ЭЛТ. Обозначим отношение шага решетки к радиусу луча ЭЛТ через  $\nu$ , т. е.  $(a+b)/r = \nu$ .

На рис. 2 в относительных единицах представлены графики функции (7) при различных значениях  $a$ ,  $b$ ,  $\nu$ . Условием нормировки является

$$\sigma_{\max}^2 = 1; \quad r = 1.$$

При переходе к абсолютным единицам значения линейных параметров необходимо умножить на размерную величину  $r$ , например:  $a+b=\nu r$ .

Рассмотрим условия, при которых возможно получить минимальную дисперсию ошибки отсчета координат, полагая, что основной причиной погрешности являются помехи, воздействующие на сигнал  $U_e(x)$  в координатном канале системы. Представим сигнал на выходе фотоэлектрического узла в виде

$$U(x) = U_e(x) + U_m(x),$$

где  $U_m(x)$  — случайная составляющая, содержащая шумы ФЭУ и ЭЛТ.

Можно показать [6], что сигнал  $U_e(x)$  в координатном канале описывается выражением

$$U_e(x) = U_{e\max} \sum_{n=-\infty}^{n=\infty} \left\{ \Phi \left[ \frac{n(a+b) + b - x \sin \alpha}{r} \right] - \Phi \left[ \frac{n(a+b) - x \sin \alpha}{r} \right] \right\}, \quad (8)$$

где  $U_{e\max}$  — сигнал на выходе фотоэлектрического узла без координатных решеток;

$$\Phi(z) = \frac{1}{\sqrt{2\pi}} \int_{-\infty}^z e^{-\frac{t^2}{2}} dt \text{ — интеграл вероятности.}$$

Сигнал  $U(x)$  поступает на схему, которая срабатывает при пересечении им порога  $U_0$ . Момент пересечения определяет значение коорди-

наты. Воздействие помех приводит к случайному изменению момента срабатывания, т. е. значение координаты будет отличаться от действительной на величину  $\sigma_\Delta$ .

В случае, когда помехи  $U_m(x)$  малы по сравнению с сигналом и скорость их изменения меньше, чем крутизна сигнала, среднеквадратичное значение  $\sigma_\Delta$  смещения момента пересечения сигналом порога пропорционально среднеквадратичному значению шума  $\sigma_m$  и обратно пропорционально крутизне сигнала в окрестности порогового уровня [7]:

$$\sigma_\Delta = \sigma_m(x) / U'_c(x). \quad (9)$$

Шумы ФЭУ и ЭЛТ практически не коррелированы [8], поэтому

$$\sigma_m^2(x) = \sigma_\phi^2(x) + \sigma_\psi^2(x), \quad (10)$$

где  $\sigma_\phi^2(x)$  — дисперсия шума ЭЛТ, определяемая уравнением (7);  $\sigma_\psi^2(x)$  — дисперсия шума ФЭУ. Дисперсия шума фотоэлектрического умножителя, согласно [5], равна

$$\sigma_\psi^2 = \gamma U_c, \quad (11)$$

где  $\gamma$  — коэффициент пропорциональности;  $U_c$  — сигнал фотоэлектрического узла.

Вычисление (10) с учетом (11) и (7) приводит к результату

$$\sigma_m^2(x) = \sum_{n=-\infty}^{n=\infty} \{ \sigma_{\max}^2 [\Phi(\sqrt{2}A) - \Phi(\sqrt{2}B)] + \sigma_{\phi \max}^2 [\Phi(A) - \Phi(B)] \}, \quad (12)$$

где

$$A = \frac{n(a+b) + b - x \sin \alpha}{r}; \quad B = \frac{n(a+b) - x \sin \alpha}{r};$$

$\sigma_{\phi \max}^2 = \gamma U_{c \max}^2$  — дисперсия шума ФЭУ без координатной решетки.

Если обозначить  $\beta = \sigma_{\phi \max}^2 / \sigma_{\psi \max}^2$ , то выражение (9) для среднеквадратичного значения смещения момента срабатывания принимает вид

$$\sigma_\Delta(x) = \frac{r \sqrt{2\pi} \sum_{n=-\infty}^{n=\infty} \{ \Phi(\sqrt{2}A) - \Phi(\sqrt{2}B) + \beta [\Phi(A) - \Phi(B)] \}}{\sqrt{q(1+\beta)} \sin \alpha \left( e^{-\frac{B^2}{2r^2}} - e^{-\frac{A^2}{2r^2}} \right)},$$

где  $q = U_{c \max}^2 / \sigma_{\psi \max}^2$  — отношение сигнал/помеха в канале фотоэлектрического узла. Это выражение справедливо для любых  $r, a, b, \alpha, \beta$  и является обобщением полученного в [6] результата для  $\sigma_{\phi}^2 \gg \sigma_{\psi}^2$ .

Уровень сигнала  $U_0$ , при котором будет наименьшей случайная ошибка, можно определить из уравнения (8), зная координату  $x_0$  — точку, где среднеквадратичное значение случайной ошибки минимально. Аналитическое решение этой задачи затруднено отысканием корней трансцендентного уравнения  $[\sigma_\Delta(x_0)]' = 0$ .

На рис. 3, 4 в относительных единицах представлены графики зависимости среднеквадратичного значения смещения момента пересечения сигналом порога от величины порога  $u_0$  при различных  $a, b, v, \beta$ , рассчитанные численным методом на

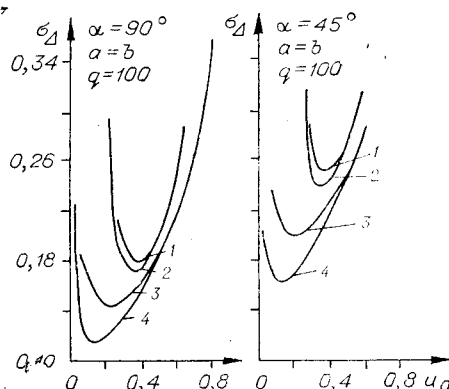


Рис. 3. Зависимость  $\sigma_\Delta$  от величины порога  $u_0$ :  
1 —  $v=5$ ;  $\beta=1$ ; 2 —  $v=5$ ;  $\beta=0.1$ ; 3 —  $v=10$ ;  $\beta=1$ ; 4 —  $v=10$ ;  $\beta=0.1$ .

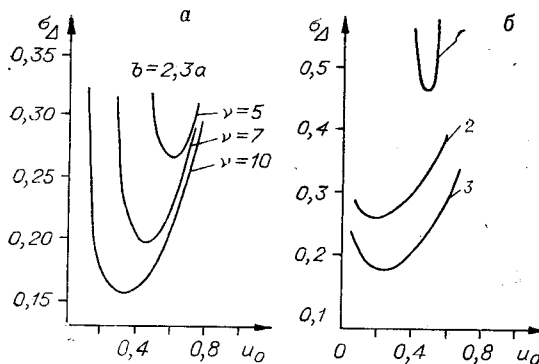


Рис. 4. Зависимость  $\sigma_{\Delta}$  от величины порога  $u_0$ :  
 а —  $q=100; \alpha=90^\circ; \beta=1$ ; б — 1 —  $q=100; \alpha=90^\circ; \nu=3$ ;  
 2 —  $q=60; \alpha=45^\circ; \nu=10; \beta=1$ ; 3 —  $q=60; \alpha=90^\circ; \nu=10; \beta=1$ .

шага случайная ошибка, является функцией параметров оптической решетки, радиуса луча ЭЛТ и параметра  $\beta$  — отношения дисперсий шума ФЭУ и ЭЛТ. Так, при увеличении  $\beta$  и уменьшении  $\nu = (a+b)/r$  значение порога  $U_0$  увеличивается. Например, для решетки с шагом 100 мкм: при  $a=b, \alpha=45^\circ, \beta=0,1, \nu=10, q=100$  имеем порог  $U_0=0,15U_{c\max}$ , при  $a=b, \alpha=45^\circ, \beta=1, \nu=5, q=100 — U_0=0,38U_{c\max}$ .

Значение координаты  $x_0$  в общем случае (для произвольных  $r, a, b, \alpha, \beta$ ) не совпадает с координатами границ линий. Появляется систематическая ошибка, которую можно определить как разность между координатой границ линии  $x_r$  и  $x_0$ :

$$\delta = x_r - x_0.$$

На рис. 6 представлены графики зависимости  $\delta$  от  $\nu$  при различных значениях  $\alpha, \beta$ .

Наличие систематической ошибки, полученной из критерия минимума случайной ошибки, не отразится на точности отсчета координат, так как первую известными способами всегда можно учесть.

Величина случайной ошибки, так же как и порог  $U_0$ , является функцией параметров оптической решетки и радиуса луча ЭЛТ (при  $q$  и  $\beta=\text{const}$ ). Так, с увеличением (в известных пределах) отношения ша-

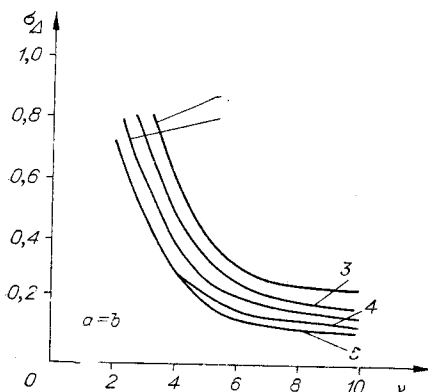


Рис. 5. Зависимость  $\sigma_{\Delta}$  от отношения шага решетки к радиусу луча ЭЛТ:  
 1 —  $q=60; \alpha=45^\circ; \beta=1$ ; 2 —  $q=60; \alpha=90^\circ; \beta=1$ ;  
 3 —  $q=100; \alpha=45^\circ; \beta=0,1$ ; 4 —  $q=100; \alpha=90^\circ; \beta=1$ ;  
 5 —  $q=100; \alpha=90^\circ; \beta=0,1$ .

ЭЦВМ. Здесь (см. рис. 3, 4) и далее (рис. 5, 6) условием нормировки является:  $r=1$ ;  $U_{c\max}=1$ . При переходе к абсолютным единицам необходимо:

а) значения линейных параметров умножить на размерную величину  $r$ , например:  $a+b=r\nu$ ;  $\sigma=\sigma r$ ;

б) значение сигнала  $u_0$  в относительных единицах умножить на размерную величину  $U_{c\max}$ , например:  $U_0=u_0 U_{c\max}$ .

Уровень сигнала  $U_0$ , при котором получается наименьшая случайная ошибка, является функцией параметров оптической решетки, радиуса луча ЭЛТ и параметра  $\beta$  — отношения дисперсий шума ФЭУ и ЭЛТ. Так, при увеличении  $\beta$  и уменьшении  $\nu = (a+b)/r$  значение порога  $U_0$  увеличивается. Например, для решетки с шагом 100 мкм: при  $a=b, \alpha=45^\circ, \beta=0,1, \nu=10, q=100$  имеем порог  $U_0=0,15U_{c\max}$ , при  $a=b, \alpha=45^\circ, \beta=1, \nu=5, q=100 — U_0=0,38U_{c\max}$ .

Значение координаты  $x_0$  в общем случае (для произвольных  $r, a, b, \alpha, \beta$ ) не совпадает с координатами границ линий. Появляется систематическая ошибка, которую можно определить как разность между координатой границ линии  $x_r$  и  $x_0$ :

$$\delta = x_r - x_0.$$

На рис. 6 представлены графики зависимости  $\delta$  от  $\nu$  при различных значениях  $\alpha, \beta$ .

Наличие систематической ошибки, полученной из критерия минимума случайной ошибки, не отразится на точности отсчета координат, так как первую известными способами всегда можно учесть.

Величина случайной ошибки, так же как и порог  $U_0$ , является функцией параметров оптической решетки и радиуса луча ЭЛТ (при  $q$  и  $\beta=\text{const}$ ). Так, с увеличением (в известных пределах) отношения ша-

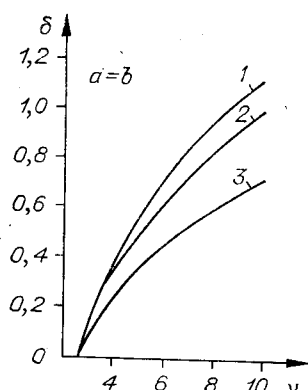


Рис. 6. Зависимость систематической ошибки от отношения шага решетки к радиусу луча ЭЛТ:  
 1 —  $\alpha=90^\circ; \beta=0,1$ ; 2 —  $\alpha=45^\circ; \beta=1$ ;  
 3 —  $\alpha=90^\circ; \beta=1$ .

та решетки к радиусу луча ЭЛТ значение случайной ошибки уменьшается. При  $v=\text{const}$  величина случайной ошибки пропорциональна радиусу луча ЭЛТ и обратно пропорциональна синусу угла наклона линий оптической решетки.

Оптимальным отношением шага решетки к радиусу луча ЭЛТ является  $7 \leq v \leq 10$ . При  $v < 7$  величина случайной ошибки значительно возрастает. Увеличение  $v > 10$  (при  $r=\text{const}$ ) не приводит к уменьшению случайной ошибки  $\sigma_d$ , так как крутизна сигнала  $U_c$  в этом случае будет ограничена конечными размерами апертуры луча.

В случае, когда  $v \geq 7$ , выражение для среднеквадратичного значения случайного смещения момента срабатывания упрощается:

$$\begin{aligned} \sigma_d(x) = & \frac{r \sqrt{2\pi} \sqrt{\Phi\left(\sqrt{2} \frac{b-x \sin \alpha}{r}\right) + \Phi\left(\sqrt{2} \frac{x \sin \alpha}{r}\right) +}}{\sin \alpha \sqrt{q(1+\beta)} \left[ e^{-\frac{x^2 \sin^2 \alpha}{2r^2}} - \right.} \\ & \rightarrow \frac{+ \beta \left[ \Phi\left(\frac{b-x \sin \alpha}{r}\right) + \Phi\left(\frac{x \sin \alpha}{r}\right) \right]}{\left. - e^{-\frac{(b-x \sin \alpha)^2}{2r^2}} \right]}. \end{aligned}$$

На рис. 5 приведены графики зависимости  $\sigma_d$  от  $v$ , рассчитанные численным методом на ЭЦВМ. Например, абсолютное значение  $\sigma_d$  для решетки с шагом 100 мкм при  $q=60$ ,  $\alpha=90^\circ$ ,  $\beta=1$  и  $r=12$  мкм составляет 2,2 мкм.

Авторы приносят благодарность канд. техн. наук В. М. Ефимову за любезно оказанную помощь при подготовке статьи.

#### ЛИТЕРАТУРА

1. В. Ф. Борисовский, А. С. Буров и др. Сканирующий автомат на электронно-лучевой трубке. Препринт ОИЯИ, Р-10-3631. Дубна, 1967.
2. С. Т. Васильков, Л. С. Вертопрахова и др. Сканирующий автомат для ввода в ЭЦВМ фильмовой информации.—Автометрия, 1970, № 2.
3. Автоматическая обработка графической информации с применением универсальных ЭВМ.—Средства вычислительной техники и оргтехники, вып. 2. М., ЦНИИИТЭИ ПСА и СУ, 1971.
4. В. А. Миллер, Л. А. Курakin. Приемные электронно-лучевые трубы. М., «Энергия», 1964.
5. А. Н. Петренко. Автоматический ввод графиков в электронные вычислительные машины. М., «Энергия», 1968.
6. А. М. Остапенко. Анализ точности отсчета координат в системе с оптическими решетками.—Автометрия, 1972, № 3.
7. В. В. Тихонов. Статистическая радиотехника. М., «Советское радио», 1966.
8. Я. А. Рыфтин. Телевизионная система. М., «Советское радио», 1967.

*Поступила в редакцию 27 ноября 1972 г.*